УДК 535.2

## РАСПРЕДЕЛЕНИЕ ИНТЕНСИВНОСТИ В НЕДИФРАГИРУЮЩИХ ПУЧКАХ, РАСПРОСТРАНЯЮЩИХСЯ В НЕЛИНЕЙНОЙ СРЕДЕ

#### Д.Л. ОГАНЕСЯН

Ереванский НИИ оптико-физических измерений

(Поступила в редакцию 11 ноября 1999 г.)

Приводятся результаты теоретического исследования распределения интенсивности в недифрагирующих пучках, распространяющихся в нелинейной среде, в приосевом приближении.

Под недифрагирующими пучками, распространяющимися в нелинейной среде, понимают волновые поля, распределение интенсивности в которых остается постоянным во всех плоскостях, перпендикулярных выделенному направлению, называемому осью пучка. Как известно, при мощности пучка, равной критической, в нелинейной среде может наступить волноводное распространение, когда плоский фазовый фронт и профиль интенсивности пучка не меняются с расстоянием [1-3].

В данной работе приведены результаты аналитического решения уравнения, описывающего распространение недифрагирующих волновых пучков в среде с нелинейным изменением диэлектрической проницаемости, без учета линейной дифракционной расходимости в приосевом приближении. В параксиальном приближении получена зависимость ширины недифрагирующего пучка от интенсивности. Приводятся также результаты численного интегрирования.

Рассмотрим распространение волнового пучка в среде, диэлектрическая проницаемость которой зависит от интенсивности волны следующим образом:

$$\varepsilon = \varepsilon_0 + \varepsilon_2 \cdot |E|^2, \tag{1}$$

где  $\varepsilon_2$  – линейная диэлектрическая проницаемость,  $\varepsilon_2 \cdot |E|^2$  – нелинейная добавка, зависящая от интенсивности поля [1].

Нетрудно показать, что уравнение, описывающее распространение пучка в такой среде в случае, когда распределение интенсивности пучка не зависит от направления распространения (ось z), в ци-

линдрической системе координат примет следующий вид:

$$\xi \cdot \frac{d^2 E}{d\xi^2} + \frac{dE}{d\xi} + \pi^2 \cdot \varepsilon_0 \cdot E + \pi^2 \cdot \varepsilon_2 \cdot |E|^2 \cdot E = 0, \qquad (2)$$

где  $\xi = (x^2 + y^2)/\lambda_0^2$ ,  $\lambda_0$  – длина волны непрерывного излучения, x , y – поперечные координаты пучка. В приосевом приближении ( $\xi < 1$ ) интенсивность пучка представим в виде

$$\left| E \right|^2 = E_0^2 \cdot \left( 1 - \frac{\lambda_0^2}{\sigma^2} \cdot \xi \right) \tag{3}$$

где  $\sigma$ — характерная ширина пучка в плоскости z=0,  ${E_0}^2$ — максимальное значение интенсивности при  $\xi=0$ .

С учетом (3) уравнение (2) можно представить в виде

$$\frac{d^2E}{d\rho^2} + \frac{1}{\rho} \cdot \frac{dE}{d\rho} + \left(\frac{1}{\rho} \left[k + \frac{1}{2}\right] - \frac{1}{4}\right) \cdot E = 0,$$
(4)

 $\text{ рде } \rho = (2 \cdot \pi \cdot \lambda_0 \cdot E_0 \cdot (\varepsilon_2)^{1/2} / \sigma) \cdot \xi \,, \quad k = 1/2 \cdot [\pi \cdot \sigma \cdot (\varepsilon_0 + \varepsilon_2 \cdot E_0^2) / (\lambda_0 \cdot E_0 \cdot (\varepsilon_2)^{1/2}) - 1].$ 

Как показано в [2], решение уравнения (4), удовлетворяющее условиям конечности, имеет следующий вид:

$$E(\xi) = \omega(\rho) \cdot \exp\left(-\frac{\rho}{2}\right) = \omega\left(\frac{\xi}{n}\right) \cdot \exp\left(-\frac{\xi}{2 \cdot n}\right),\tag{5}$$

где  $n = \sigma/(2 \cdot \pi \cdot \lambda_0 \cdot E_0 \cdot (\varepsilon_2)^{1/2})$ ,  $\omega(\xi/n) = F(-k, 1, \xi/n)$  – вырожденная гипергеометрическая функция. Причем k должно быть целым неотрицательным числом (k = 0, 1, 2, ...). Это значит, что минимальное значение интенсивности  $E_0^2$  в центре пучка, при котором имеет место безаберрационное распространение пучка в нелинейной среде, равно

$$A_0^2 = \varepsilon_0 / \varepsilon_2. \tag{6}$$

Из условия k=0,1,2,... следует также следующая зависимость между характерной шириной пучка  $\sigma$  в плоскости z=0 и максимальным значением интенсивности  $E_0^2$  в центре пучка ( $\xi=0$ ) для различных значений k:

$$\sigma = (2 \cdot k + 1) \cdot \lambda_0 / \pi \cdot (\varepsilon_0)^{1/2} \cdot (\theta / (1 + \theta^2)), \tag{7}$$

где  $\theta = E_0/A_0$ .

Из зависимости  $(\pi \cdot \lambda_0(\varepsilon_0)^{1/2} \cdot \sigma)/\cdot \lambda_0$  от  $(2 \cdot k + 1) \cdot \theta$ , приведенной на рис.1, следует, что распределение интенсивности недифрагирующего пучка неустойчиво к изменениям ширины пучка, которые в параксиальном приближении могут быть обусловлены зависимостью  $\varepsilon_2$  от координаты z, а также изменением  $E_0$  вследствие поглощения или рассеяния [3].

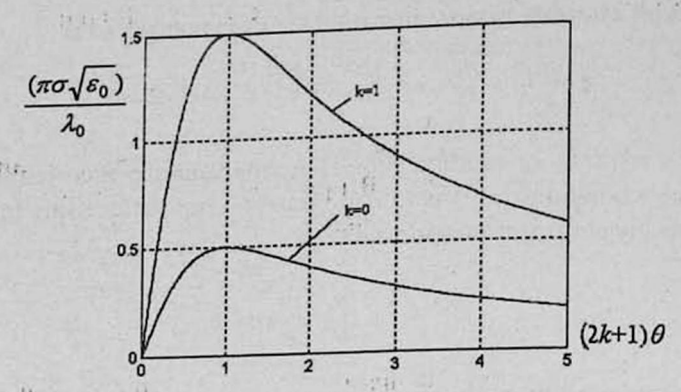


Рис.1. Зависимость ширины пучка от интенсивности в центре пучка ( $\xi$  = 0).

С учетом того, что вырожденная гипергеометрическая функция  $F(-k,1,\xi/n)$  с точностью до постоянного множителя совпадает с полиномом Лагерра, распределение поля недифрагирующего пучка (5), распространяющегося в нелинейной среде, в приближении  $\xi < 1$ , принимает следующий вид:

$$E(\xi) = \frac{\exp(\xi/2 \cdot n)}{k!} \cdot \frac{d^k}{d(\xi/n)^k} \cdot ((\xi/n)^k \cdot \exp(-\xi/n)). \tag{8}$$

На рис. 2а приведено распределение интенсивности

$$|E(\xi)|^2 = \exp(-\xi/n) \tag{9}$$

недифрагирующего пучка, полученное из выражения (8) при k=0,  $E_0=A_0$  и  $\sigma=\lambda_0/2\cdot\pi(\epsilon_0)^{1/2}$  (кривая 1). Там же приводится распределение интенсивности недифрагирующего пучка, полученное из численного интегрирования уравнения (2) при  $E_0(\xi=0)=A_0$ ,  $(dE/d\xi)_{\xi=0}=0$  (кривая 2).

На рис.26 приведена зависимость нормированного значения среднеквадратичного отклонения аналитического решения  $|E_*(\xi)|^2$  от решения, полученного численным интегрированием уравнения (2) –  $S/S_0(\xi=0)$  от  $\xi^{1/2}$ , где

$$S = \int_{0}^{\xi} (|E_a(\xi)|^2 - |E(\xi)|^2) \cdot d\xi.$$
 (10)

На рис. За приведено распределение интенсивности

$$|E(\xi)|^2 = (1 - \xi/n)^2 \exp(-\xi/n)$$
 (11)

недифрагирующего пучка, полученное из выражения (8), при k=1,  $E_0==A_0$  и  $\sigma=3\cdot\lambda\sqrt{2\cdot\pi}(\epsilon_0)^{1/2}$  (кривая 1). Там же приводится распределение интенсивности недифрагирующего пучка, полученное из численного интегрирования уравнения (2) при  $E_0(\xi=0)=A_0$ ,  $(dE/d\xi)_{\xi=0}=0$  (кривая 2). На рис.36 приведена зависимость нормированного значения средне-

квадратичного отклонения аналитического решения  $|E_a(\xi)|^2$  от решения, полученного численным интегрированием, от  $\xi^{1/2}$ . Как видно из рис.2 и 3 и анализа выражения (8), с увеличением значения k, т.е. с увеличением ширины пучка при заданном значении  $E_0$ , сходимость аналитического решения к численному решению ухудшается.

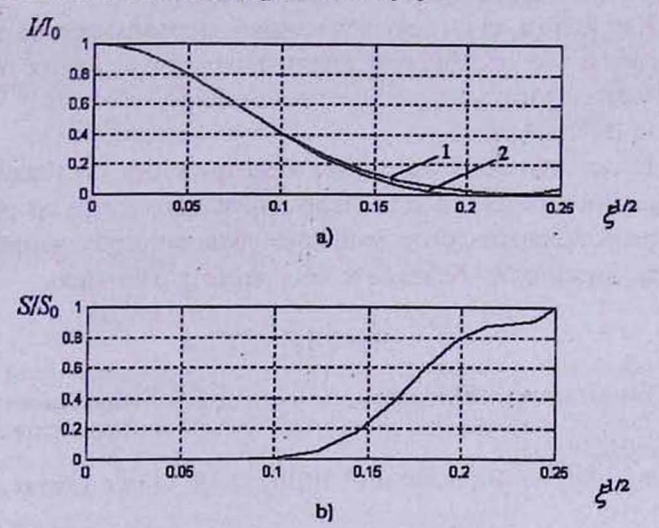


Рис.2. а) Зависимости распределения интенсивностей недифрагирующего пучка от  $\xi^{1/2}$ , полученные из выражения (8) при k=0 (1), и численным интегрированием уравнения (2)-(2). б) зависимость нормированного значения среднеквадратичного отклонения аналитического решения от решения, полученного численным интегрированием, от  $\xi^{1/2}$  при k=0.

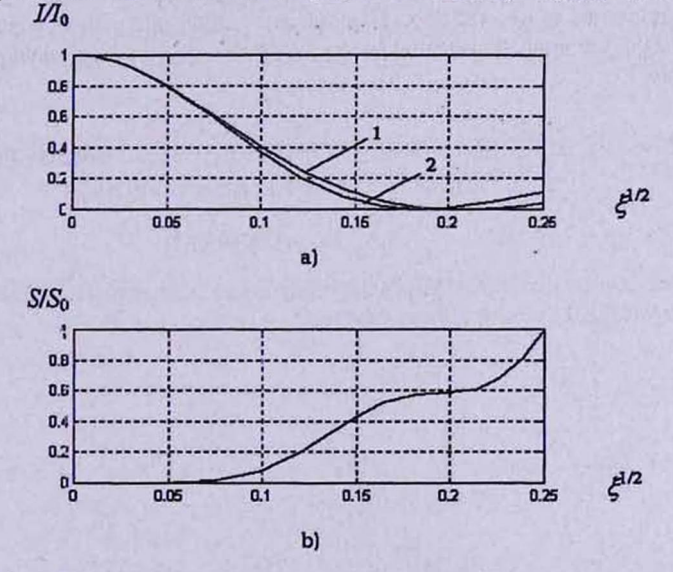


Рис.3. а) Зависимости распределения интенсивностей недифрагирующего пучка от  $\xi^{i,7}$ , полученные из выражения (8) при k=1 (1), и численным интегрированием уравнения (2)-(2), б) зависимость нормированного значения среднеквадратичного отклонения аналитического решения от решения, полученного численным интегрированием, от  $\xi^{i,7}$  при k=1.

Следует отметить, что вышеприведенные исследования формы интенсивности недифрагирующего пучка в нелинейной среде проводятся при  $E_0=A_0$ , т. к. с увеличением  $E_0(\xi=0)$  существенную роль могут играть высшие нелинейности  $\chi^{(5)}$ , ... и многочастотные нелинейные эффекты, например, вынужденное рассеяние [3]:

Как видно из вышеизложенного, нормированное значение среднеквадратичного отклонения аналитического решения от соответствующего численного решения не превосходит 20% при  $\xi^{1/2}$ < 0.14 (k = 0) и  $\xi^{1/2}$ < 0.12 (k =1).

Таким образом, благодаря линеаризации (3) удалось: 1) определить зависимость ширины недифрагирующего пучка от интенсивности, 2) получить аналитическое решение уравнения (2), в приосевом приближении, достаточно близкое к численному решению.

## ЛИТЕРАТУРА

- 1. М.Б.Виноградова, О.В.Руденко, А.П.Сухоруков. Теория волн. М., 1979.
- Л.Д.Ландау, Е.М.Лифшиц. Квантовая механика (нерелятивистская теория).
   М., Наука, 1963.
- 3. S.Alam, C.Bentley. Proceedings of SPIE, v.3418, 14 july, Quebec, Canada (1998).

### ሳግተያፈተው ሶቢኮይትሀገብፈተራር ሶቢኮሪሀገባሀሪ ህላበባይሀኮሀያፈተህ ኅብፀሀሪቱ ርበ ታህላበላጎዕሀብ ታሀይጫላቢኮላሀህተያፈተ

#### **Դ.L. ՀՈՎՀԱՆՆԻՍՅԱՆ**

Քերված են ոչ գծային միջավայրում տարածվող չդիֆրակցվող փնջերի ինտենսիվության բաշխման տեսական հետազոտությունների արդյունքները առանցքին կից մոտավորությամբ։

# INTENSITY DISTRIBUTION IN NONDIFFRACTING BEAMS PROPAGATING THROUGH A NONLINEAR MEDIUM

#### D.L. HOVHANNISIAN

The intensity distribution in nondiffracting beams propagating through a nonlinear medium is investigated in the near-axis approximation.